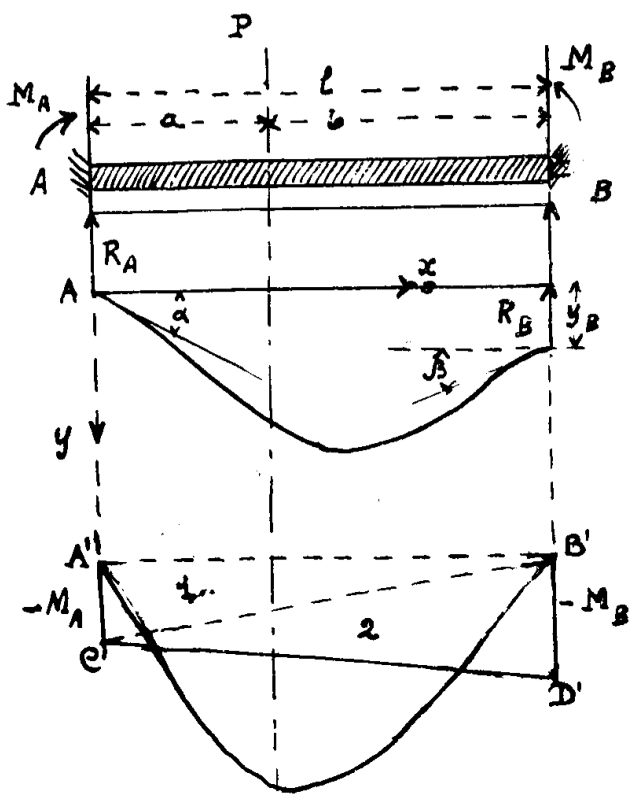


## - Capitolo VIII -

### Trattazione analitica delle travi iperstatiche.

Trave imperfettamente incastrata alle due estremità.

Noi supporremo che gli incastramenti siano cedevoli così da permettere, alle tangenti estreme alla linea elastica, delle rotazioni e che inoltre consentano un certo dislivello fra le sezioni estreme che si suppone obliquano inizialmente



i centri su di una stessa orizzontale.

Indichiamo con  $\alpha$  e  $\beta$  le inclinazioni <sup>delle tangenti.</sup> di estremità della linea elastica (prese positive se le tangenti di estremità scendono verso l'interno della trave) e con  $y_B$  il dislivello dei punti estremi della linea elastica, positivo se B è più basso di A.

Noi supporremo che queste grandezze siano assegnate ed indipendenti dai carichi; come accade nel caso di vincoli rigidi presentanti iniziali difetti di montaggio; del resto se queste deformazioni vin-

colori fossero proporzionali alle rispettive reazioni basterebbe, nelle formule che troveremo, esprimere i detti spostamenti in funzione degli sforzi che li provocano, cioè indicando con  $C_a$   $C_b$   $D_a$   $D_b$  quattro costanti elastiche determinabili secondo la natura dei vincoli, si dovrà porre:

$$\alpha = C_a M_A, \quad \beta = C_b M_B, \quad \gamma_B = D_b R_B - D_a R_A.$$

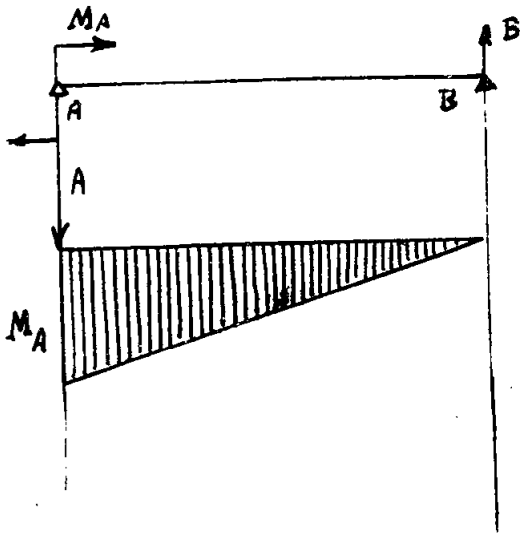
Assumiamo come incognite iperstatiche i momenti di incastro  $M_A$  e  $M_B$ ; le equazioni della statica ci permetteranno di determinare le altre due incognite  $R_A$  ed  $R_B$ .

Assumiamo come condizioni di carico quelle più comuni in pratica: cioè un carico distribuito uniformemente di intensità  $p$  a ml., ed un carico concentrato  $P$  situato alle distanze  $a$  e  $b$  rispettivamente dai due estremi  $A$  e  $B$ . I risultati ai quali arriveremo sono estensibili anche al caso di più forze concentrate sostituendo ai termini contenenti  $P$  le sommatorie estese a tutti i carichi concentrati.

Sia  $A$  l'origine della linea elastica della trave, la verticale per  $A$  sia l'asse  $y$  positivo verso il basso, l'orizzontale per  $A$  sia l'asse  $x$ . Assumiamo positivi i momenti di incastro  $M_A$  ed  $M_B$  quando abbiano i sensi indicati dalle frecce circolari nella figura, cioè quando provochino momenti flettenti positivi nella trave: è chiaro che se i momenti effettivi di incastro avranno senso contrario a quello da noi supposto, dalle formule troveremo per essi valori negativi.

Terremo conto solo delle deformazioni dovute alla flessione.

avvalendoci della sovrapposizione degli effetti, il momento flettente in una sezione qualunque si potrà ritenere eguale a quello (che diremo  $M_0$ ) che i carichi esterni produrrebbero sulla stessa trave, quando essa fosse semplicemente appoggiata agli estremi, più il momento provocato dai momenti  $M_A$  ed  $M_B$  agenti nelle sezioni estreme della trave pure semplicemente appoggiata.



Il momento  $M_A$  provoca nei due appoggi due reazioni e-

quali in intensità ad  $\frac{M_A}{l}$  delle quali quella in A è diretta verso il basso e quella in B verso l'alto; ciò si vede ad es: prendendo i momenti intorno a B, essendo eguale a zero il momento della reazione B potremo scrivere, immaginando la reazione in A diretta verso l'alto

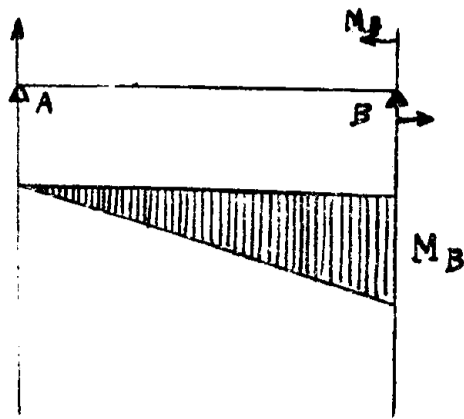
$M_A + Al = 0$  da cui  $A = -\frac{M_A}{l}$  cioè la reazione in A è diretta verso il basso e la sua intensità è  $M_A/l$ ; analogamente per B.

In una sezione a distanza  $x$  da A si ha un momento flettente dato da

$$M_A - \frac{M_A}{l} x = \frac{M_A}{l} (l - x)$$

Il diagramma del momento flettente è diseguito in figura. Così  $M_B$  provoca in A una reazione  $\frac{M_B}{l}$  diretta verso l'alto ed in B una reazione  $\frac{M_B}{l}$  diretta verso il basso. In una sezione a distanza  $x$  dall'appoggio A si ha un momento

flettente  $\frac{M_B}{l} x$ . Il diagramma del momento flettente è disegnato in figura.



Per la trave imperfettamente incastrata che noi studiamo, per quanto sopra si è detto, in una sezione alla distanza  $x$  da A si ha un momento flettente:

$$M(x) = M_0 + \frac{M_A}{l} (l-x) + \frac{M_B}{l} x \quad (179)$$

Il diagramma del momento  $M_0$  si vuol chiamare superficie semplice dei momenti.

Nella fig. a pag. 205 essa è stata disegnata costruendo la linea funicolare del carico esterno e riducendola alla retta di chiusura  $A'B'$  che le dà ordinata nulla in corrispondenza degli appoggi A e B. Così nella figura stessa si sono riportati <sup>in A'B' e B'C'D'</sup> i diagrammi dei momenti flettenti dovuti ad  $M_A$  ed  $M_B$ . essi sono stati riportati in basso rispetto alla orizzontale  $A'B'$  poiché, nei casi concreti, i momenti di incastro sono negativi.

Il momento flettente in una sezione generica di ascissa  $x$  è:

$$M_0 = P \frac{b}{l} x - P(x-a) + \frac{P}{2} (lx - x^2)$$

convengono che il termine  $P(x-a)$  sia definito soltanto per  $x > a$  e quindi non appaia nella espressione del momento flettente per  $x \leq a$ .

Come, avvalendoci della (162), scrivere l'equazione differenziale della linea elastica:

$$-EI \frac{d^2 y}{dx^2} = M_0 + \frac{M_A}{l} (l-x) + \frac{M_B}{l} x = \frac{Pb}{l} x - P(x-a) + \frac{P}{2} (lx - x^2) + \frac{M_A}{l} (l-x) + \frac{M_B}{l} x$$

Integrando e determinando la costante con la condizione che per  $x=0$ , sia  $dy/dx = \alpha$  si ottiene (si ricordi che il termine  $P(x-a)$  va integrato fra  $a$  ed  $x$  ed esiste solo per  $x > a$  ed inoltre che  $\int_a^x (x-a) dx = \int_a^x (x-a) d(x-a) = \frac{(x-a)^2}{2}$ )

$$EI \left( \frac{dy}{dx} \right) = P \frac{b}{l} \frac{x^2}{2} - \frac{P(x-a)^2}{2} + \frac{P}{2} \left( \frac{Px^2}{2} - \frac{x^3}{3} \right) + \frac{M_A}{l} \left( lx - \frac{x^2}{2} \right) + \frac{M_B}{l} \frac{x^2}{2}$$

Integrando una seconda volta ed imponendo la condizione che per  $x=0$ ,  $y=0$  si ottiene, sempre tenendo conto delle precedenti convenzioni fatte sul termine  $P(x-a)$ ,

$$EI(dx-y) = P \frac{b}{l} \frac{x^3}{3} - \frac{P(x-a)^3}{6} + \frac{P}{2} \left( \frac{Px^3}{6} - \frac{x^4}{12} \right) + \frac{M_A}{l} \left( lx^2 - \frac{x^3}{6} \right) + \frac{M_B}{l} \frac{x^3}{6}$$

Per  $x=l$  deve essere  $y=y_B$  quindi dall'ultima equazione si ricava, ricordando che  $b=l-a$ , dopo facili riduzioni:

$$EI(\alpha l - y_B) = \frac{Pb}{6} (l^3 - b^3) + \frac{1}{6} \frac{Pl^4}{4} + \frac{l^2}{6} (2M_A + M_B) \quad (180)$$

questa è una prima relazione fra le incognite  $M_A$  e  $M_B$ .

Ora è ovvio che le proprietà della linea elastica si potrebbero pure studiare partendo dall'appoggio B, ossia prendendo come origine degli assi l'estremo B della trave già deformata, come asse delle  $x$  l'orizzontale per B, positivo verso sinistra (ossia verso l'altro estremo A) e per asse delle  $y$  la verticale per B, col senso positivo in basso.

In tal modo è chiaro che si dovrebbero scrivere delle relazioni che si possono ottenere da quelle già sopra stabilite, scambiando in esse,  $a$  con  $b$

$M_A$  con  $M_B$ , ed inoltre ponendo  $\beta$  in luogo di  $\alpha$ , e mutando  $y_B$  in  $-y_B$  (e quest'ultima sostituzione perche il dislivello relativo di A rispetto a B e' evidentemente l'opposto di quello di B rispetto ad A).

In particolare l'ultima relazione sopra scritta diviene:

$$EI(\beta l + y_B) = \frac{Pa}{6}(l^2 - a^2) + \frac{1}{6} \frac{Pl^4}{4} + \frac{l^2}{6}(M_A + 2M_B);$$

e questa e' un'altra relazione, che, unita, alla precedente, permette di determinare i momenti di incastro  $M_A$  ed  $M_B$ , che sono le incognite iperstatiche di questo caso.

Come si disse piu' sopra, se sulla trave vi sono piu' carichi concentrati, come P, nelle due ultime equazioni trovate bisognera' al termine contenente P, sostituire la relativa sommatoria, intendendo questa estesa a tutti i carichi insistenti sulla trave.

Le dette equazioni si possono trasformare raccogliendo nei primi membri i termini contenenti i momenti  $M_A$  ed  $M_B$  e, introducendo le sommatorie sopradette, troviamo:

$$\left. \begin{aligned} 2M_A + M_B &= -\frac{\sum P b (l^2 - b^2)}{l^2} - \frac{Pl^2}{4} + \frac{6EI}{l} \left( \alpha - \frac{y_B}{l} \right) \\ \cancel{M_A} + 2M_B &= -\frac{\sum P a (l^2 - a^2)}{l^2} - \frac{Pl^2}{4} + \frac{6EI}{l} \left( \beta + \frac{y_B}{l} \right) \end{aligned} \right\} (181)$$

queste si possono risolvere rispetto alle incognite  $M_A$  ed  $M_B$ , e si trova:

$$\left. \begin{aligned} M_A &= \frac{\Sigma Pa b^2}{l^2} - \frac{pl^2}{12} + \frac{2EI}{l} \left( 2\alpha - \beta - \frac{3y_B}{l} \right) \\ M_B &= -\frac{\Sigma Pa^2 b}{l^2} - \frac{pl^2}{12} + \frac{2EI}{l} \left( 2\beta - \alpha + \frac{3y_B}{l} \right) \end{aligned} \right\} (182)$$

La reazione fissa (verticale)  $R_A$  dell'appoggio A si può esprimere come somma di quella  $R_{A_0}$  che nella stessa trave semplicemente appoggiata sarebbe provocata dai carichi esterni dati, più l'analoga reazione provocata dai momenti  $M_A$  ed  $M_B$  agenti sulla stessa trave con semplici appoggi.

Si trova così, secondo le leggi della statica:

$$R_A = R_{A_0} + \frac{M_B - M_A}{l}; \quad R_B = R_{B_0} - \frac{M_B - M_A}{l}$$

D'altra parte, pure dalla statica, risultano ovviamente le relazioni:

$$R_{A_0} = \frac{\Sigma Pl}{l} + \frac{pl}{2}; \quad R_{B_0} = \frac{\Sigma Pa}{l} + \frac{pl}{2}$$

e sostituendo nelle precedenti si ha:

$$R_A = \frac{\Sigma Pl}{l} + \frac{pl}{2} + \frac{M_B - M_A}{l}; \quad R_B = \frac{\Sigma Pa}{l} + \frac{pl}{2} - \frac{M_B - M_A}{l}$$

(risultando per verifica:  $R_A + R_B = \Sigma P + pl$  come deve essere)

Utilizzando i valori dati dalla (182) con ovvie riduzioni si trova:

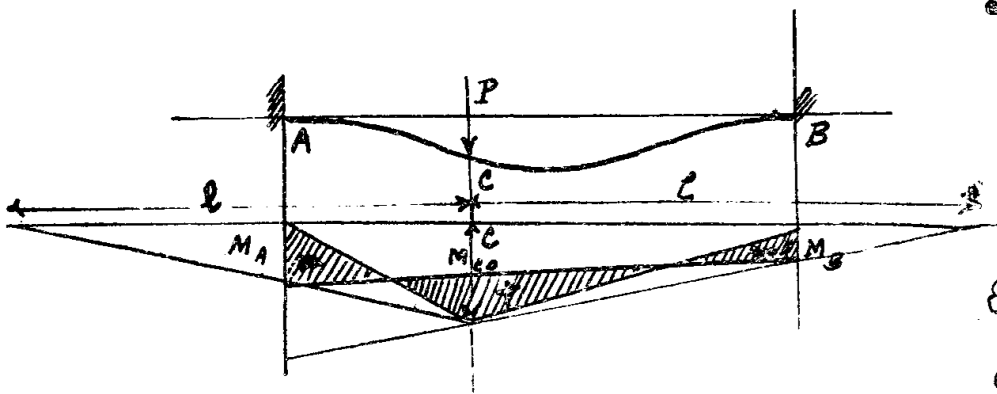
$$\left. \begin{aligned} R_A &= \frac{\Sigma P(3a+b)b^2}{l^3} + \frac{pl}{2} + \frac{6EI}{l^2} \left( \beta - \alpha + \frac{2\gamma_B}{l} \right) \\ R_B &= \frac{\Sigma P(3b+a)a^2}{l^3} + \frac{pl}{2} + \frac{6EI}{l^2} \left( \alpha - \beta - \frac{2\gamma_B}{l} \right) \end{aligned} \right\} (183)$$

Le formule ora trovate possono essere applicate a studiare alcuni casi particolari che si presentano frequentemente in pratica.

Le (181) e (182), sono delle relazioni tra i momenti  $M_A$  ed  $M_B$  e le inclinazioni  $\alpha$  e  $\beta$  così che esse si prestano a determinare due di queste quattro grandezze quando sono date le altre due.

*Trave perfettamente incastrata alle estremità.*

2) La trave è sollecitata soltanto da un carico  $P$  concentrato. Occorrerà porre nelle (182)  $\alpha = \beta = \gamma_B = p = 0$ .



Si ottiene:

$$M_A = -\frac{Pab^2}{l^2}$$

$$M_B = -\frac{Pa^2b}{l^2}$$

Osservando che  $\frac{Pab}{l}$  è il momento  $M_{co}$  in C per una trave

semplicemente appoggiata agli estremi e che  $-M_A = M_{co} \frac{b}{l}$



si possono ottenere (noto  $M_{c0}$ ) questi momenti estremi riportando  $l$  a sinistra e a destra di  $C$  e dagli estremi dei due segmenti proiettando l'ordinata  $M_{c0}$  rispettivamente sulle verticali per gli appoggi, come rilevasi dalla figura.

Dalla espressione di  $M_A$  risulta che esso diventa massimo, allo spostarsi del carico  $P$  sulla trave, quando questo dista di  $\frac{l}{3}$  dall'incastro  $A$ , allora  $M_A$  assume il valore  $\frac{4}{27} Pl$ .

Si avranno due punti di flesso, uno sul tratto  $AC$  e l'altro nel tratto  $BC$ , per essi, dovendo risultare

$$\frac{d^2y}{dx^2} = 0 \text{ sarà } M_x = 0; \text{ le loro distanze da } A \text{ e } B \text{ ri-}$$

spettivamente sono date da  $x_1 = -\frac{M_A}{R_A}$ ;  $x_2 = -\frac{M_B}{R_B}$ , dove  $R_A$  ed  $R_B$  sono rispettivamente, come si rileva dalle (183):

$$R_A = \frac{P(3a+b)b^2}{l^3}$$

$$R_B = \frac{P(3b+a)a^2}{l^3}$$

quindi:

$$x_1 = \frac{a}{3a+b} l$$

$$x_2 = \frac{b}{3b+a} l$$

Il momento  $M_c$  nella sezione in cui è applicato il carico  $P$  si ricava dalla equazione  $M_A + R_A a = M_c$  si ottiene  $M_c = P \frac{2a^2b^2}{l^3}$ .

Se  $a < b$  l'ordinata massima, che evidentemente è unica, si trova nel tratto  $BC$  e si ottiene dalla  $\frac{dy}{dx} = 0$

il suo valore è  $y = \frac{P}{EI} \frac{2a^3b^3}{3(a+3b)^2}$  la sua distanza da B risulta essere  $\frac{2b}{a+3b}$  e cioè doppia della distanza del secondo punto ( $x_2$ ) di flesso da B.

Se il carico P è applicato nel mezzo:

$$R_A = R_B = \frac{P}{2} \quad -M_A = -M_B = \frac{Pl}{8}$$

b) La trave è sollecitata soltanto da un carico  $Q=pl$  uniformemente ripartito su tutta la sua lunghezza.

Dalle (182) e dalle (183) ricaviamo

$$R_A = R_B = \frac{Q}{2} \quad M_A = M_B = -\frac{Ql^2}{12}$$

la flessa di incurvamento è data da:  $f = \frac{1}{8 \times 48} \frac{Ql^3}{EI}$

Trave incastrata in un estremo ed appoggiata nell'altro con incastro ed appoggio rigidi.

2) La trave è sollecitata soltanto da un carico concentrato.

concentrato.

In questo caso risulta

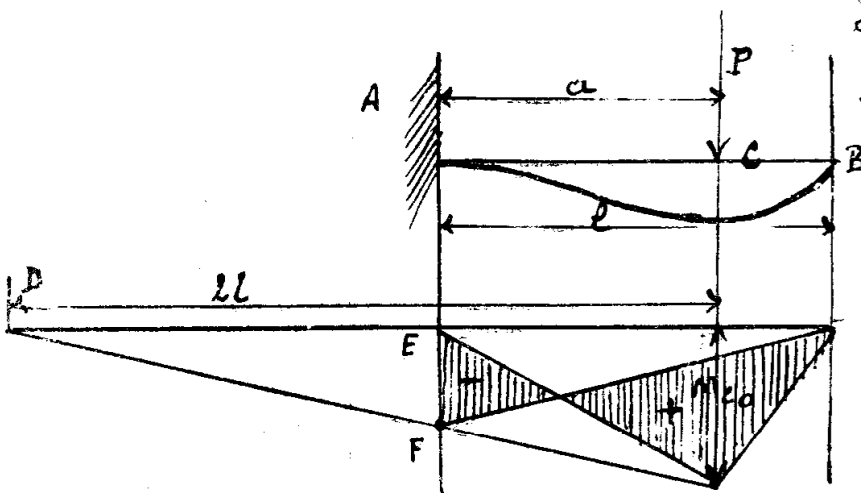
essere  $M_B = 0$  inoltre

$x = y_B = \beta = 0$  dalle

(182) si ricava.

$$M_A = -\frac{Pab^2}{l^2} - \frac{2EI}{l} \beta$$

$$0 = -\frac{Pa^2b}{l^2} + \frac{4EI}{l} \beta$$



da cui si ricava:

$$M_A = - \frac{Pab(a+2b)}{2l^2}$$

Il momento  $M_c$  è:

$$M_c = \frac{Pa^2b(2a+3b)}{2l^3}$$

Ponendo  $M_A$  sotto la forma  $-M_A = \frac{Pab}{l} \frac{2l-a}{2l} = M_{oc} \frac{2l-a}{2l}$  dove  $M_{oc}$  è il momento in  $c$  per la trave semplicemente appoggiata agli estremi: si può ottenere  $M_A$  con la seguente costruzione grafica: Si porta a sinistra di  $c$  un segmento lungo  $2l$  e dall'estremo  $D$  si proietta l'ordinata  $M_{oc}$  sulla verticale per  $A$  come si rileva dalla figura: risulta  $EF = M_A$ .

Le sezioni di momento massimo relativo sono  $A$  (incastro) e  $c$  (sezione in cui è applicato il carico)

Dalle (183) risulta ponendo per  $\beta$  il suo ricavato valore:

$$R_A = \frac{P(3a^2 + 6ab + 3b^2)b}{2l^3} \quad R_B = \frac{Pa^2(2a+3b)}{2l^3}$$

b) La trave è sollecitata da un carico  $Q = pl$  uniformemente ripartito su tutta la sua lunghezza.

In tal caso dalla (182) (183) si ricava:

$$\beta = \frac{pl^3}{48EI} \quad R_A = \frac{5}{8} Q \quad R_B = \frac{3}{8} Q \quad M_A = - \frac{Ql}{8}$$

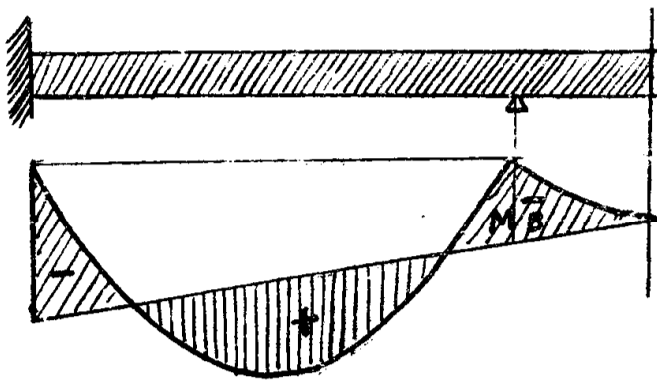
Sono sezioni di momento massimo relativo  $A$  ed una altra la cui distanza  $x_0$  da  $B$  ed il cui momento corri-

spondente sono dati da

$$x_0 = \frac{3}{8} l \quad M_{x_0} = \frac{q}{16} \frac{q l^2}{8}$$

Se la trave è incastrata in A, appoggiata in B e prolungata oltre questo con uno sbalzo caricato è noto staticamente il momento  $M_B$  come il momento rispetto a B dei carichi insistenti sullo sbalzo; allora le (182) permetteranno di determinare, essendo  $\alpha = 0$ , la inclinazione della linea elastica  $\beta$  in B e il momento d'incastro  $M_A$ .

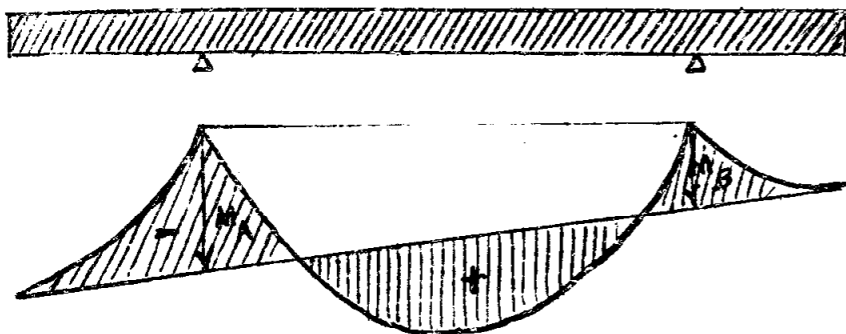
Se si ha una trave appoggiata in due punti A e B con due sbalzi carichi da ambo le parti, sono staticamente noti  $M_A$  ed  $M_B$  quindi le (182) servono a determinare  $\alpha$  e  $\beta$ . I diagrammi dei momenti flettenti per questi ultimi due casi sono qui disegnati. In ambo i casi supponiamo noto  $y_B$ .



È ovvio che se un appoggio è semplice e senza sbalzo il rispettivo momento è zero quindi le stesse (182) fornendovi

$$M_A = M_B = 0$$
 danno

inclinazioni  $\alpha$  e  $\beta$  per la trave semplicemente appoggiata senza sbalzi.



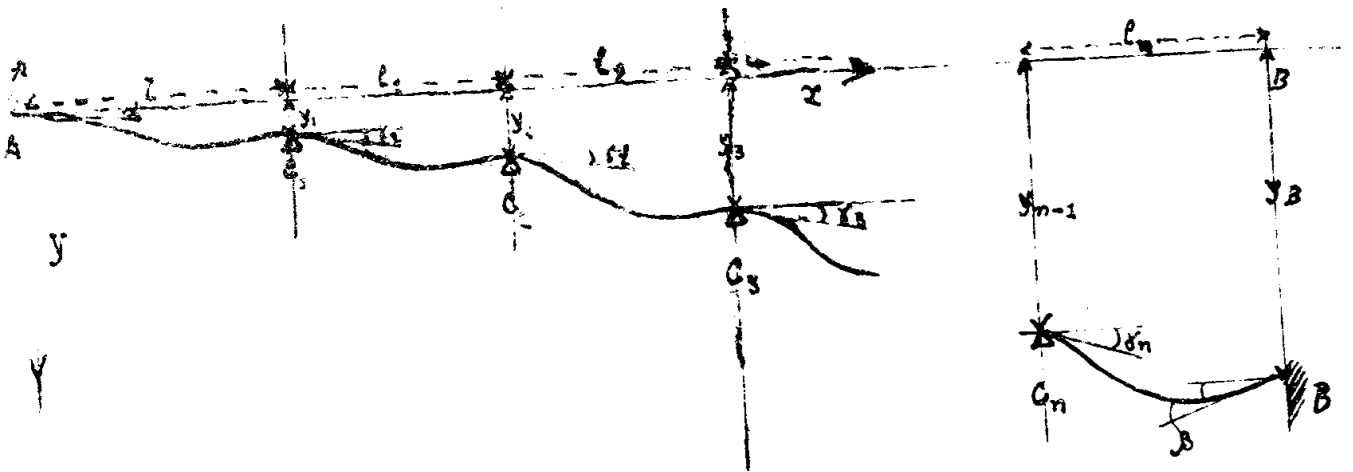
### *Trave continua.*

Applichiamo ora la formula trovata per la trave imperfettamente incastrata alle estremità, allo studio della trave continua che è una trave disposta su più appoggi intermedi senza soluzioni di continuità sugli appoggi stessi. Gli intervalli fra due appoggi consecutivi si dicono *campanate*. Per la continuità i tratti di due *campanate* consecutive si trasmettono, attraverso la serie di appoggio comune un momento, che per ciascuna delle *campanate*, funziona come momento di *incastrato*, perciò ogni *campanata* si comporterà come una trave imperfettamente incastrata agli estremi. La trave, sugli appoggi di estremità, potrà essere appoggiata o *incastrata*. Si assumono come incognite iperstatiche i momenti sugli appoggi intermedi il cui numero indichiamo

con  $n$ , se si ha fine incastro ad un'estremità e be le estremità, il numero delle incognite iperstatiche diventa  $n+1$  ed  $n+2$  rispettivamente. Infatti è chiaro che la trave si può rendere staticamente determinata sopprimendo, per esempio, tutti gli appoggi intermedi e riducendo i vincoli di estremità ad appoggi semplici; ciò fatto potremmo assumere come incognite iperstatiche le  $n$  reazioni degli appoggi intermedi, alle quali si devono aggiungere i momenti di reazione degli eventuali incastri di estremità. Per la semplicità della soluzione numerica del problema è però più conveniente assumere come incognite i momenti sugli appoggi intermedi, i quali, per quanto già sappiamo sono legati alle corrispondenti reazioni da relazioni molto semplici che la statica insegna a determinare, e che noi troveremo in seguito per ottenere le reazioni trovati i momenti sugli appoggi.

Nella figura è indicato lo schema della linea elastica di una trave continua per specificare il significato dei simboli adottati ad esprimere le varie grandezze relative alle diverse campate.

Indichiamo con  $A$  e  $B$  gli appoggi di estremità e con  $C_1, C_2, C_3, \dots$  gli appoggi intermedi.



Riferiamo la trave all'orizzontale per A come asse delle  $x$ , col senso positivo da A verso B (verso destra), contando al solito le  $y$  positive verso il basso.

Siano poi  $y_1, y_2, y_3, \dots, y_n, y_B$  le ordinate dei vari appoggi  $C_1, C_2, C_3, \dots, C_n, B$ ; siano  $\alpha, \delta_1, \delta_2, \delta_3, \dots, \delta_{n-1}, \delta_n$  i valori  $\frac{dy}{dx}$  per la linea elastica, rispettivamente sugli appoggi  $A, C_1, C_2, C_3, \dots, C_n, B$  (positive se ivi la tangente è inclinata in discesa nel verso delle  $x$  positive).

Siano poi  $l_1$  la lunghezza della campata  $AC_1$ ;  $l_2$  quella della campata  $C_1C_2$  successiva all'appoggio  $C_1$  e così via,  $\dots, l_n$  la lunghezza della campata  $C_{n-1}B$ . Infine siano  $M_1, M_2, M_3, \dots, M_n$  i momenti (flettenti) sugli appoggi estremi se questi forniscono pure incastrì rigidi o no; ne risulta che  $M_B$  sarà positivo se il momento d'incastrò in B risulta negativo e ciò in conformità di quanto si fece \* intermedi ed  $M_A$  e  $M_B$  i momenti flettenti in adiacenza degli appoggi

per la trave incastrata ai due estremi ove si assume il verso positivo di  $M_B$  in senso opposto a quello di  $M_A$ ; questo si giustifica osservando che in A il momento flettente è lo stesso momento di incastro mentre in B il momento flettente è uguale ed opposto al momento reazione di incastro.

Ciò posto consideriamo ora la campata  $c_1, c_2$  di lunghezza  $l_1$  essa si comporta come una trave imperfettamente incastrata alle estremità perciò ad esse applichiamo la seconda delle (181), la quale contiene l'inclinazione  $\beta$ ; in essa noi dovremo porre  $M_1$  in luogo di  $M_A$ ;  $M_2$  in luogo di  $M_B$ ,  $l_1$  per  $l$ ,  $p_1$  in luogo di  $p$  (ritenendo, per maggiore generalità, che i carichi ripartiti sulle varie campate abbiano valori diversi da una campata all'altra), inoltre in luogo di  $y_B$  dovremo porre  $y_2 - y_1$  e, per la convenzione fatta, in luogo di  $\beta$  si deve mettere  $-\gamma_2$ .

Converrà poi moltiplicare tutta l'equazione per  $l_1$  così noi otterremo:

$$l_1 M_1 + 2l_1 M_2 = -\frac{\Sigma Pa(l_1^2 - a^2)}{l_1} - \frac{p_1 l_1^2}{4} + 6EI \left( -\gamma_2 + \frac{y_2 - y_1}{l_1} \right) \quad (184)$$

In modo analogo possiamo applicare la prima delle (181), la quale contiene  $\alpha$ , alla campata  $c_2, c_3$  ponendo  $M_2$  in luogo di  $M_A$ ,  $M_3$  per  $M_B$ ,  $l_2$  in luogo di  $l$



$y_3 - y_2$  in luogo di  $y_B$  ed infine  $\gamma_2$  in luogo di  $\alpha$ ; moltiplicheremo poi tutto per  $l_2$  si otterrà:

$$2l_2 M_2 + l_2 M_3 = - \frac{\sum P b (l_2^2 - b^2)}{l_2} - \frac{P_2 l_2^3}{4} + 6EI \left( \gamma_2 - \frac{y_3 - y_2}{l_2} \right) \quad (185)$$

Ora se sommiamo membro a membro queste relazioni (184) e (185) si elimina l'inclinazione  $\gamma_2$  e si trova:

$$l_1 M_1 + 2(l_1 + l_2) M_2 + l_3 M_3 = - \frac{\sum P a (l_1^2 - a^2)}{l_1} - \frac{\sum P b (l_2^2 - b^2)}{l_2} - \frac{P_1 l_1^3 + P_2 l_2^3}{4} + 6EI \left( \frac{y_2 - y_1}{l_1} - \frac{y_3 - y_2}{l_2} \right) \quad (186)$$

In questa s'intende che la prima sommatoria va estesa a tutti i carichi  $P$  insistenti sulla campata  $l_1$ , e la seconda va estesa a tutta la campata  $l_2$ , richiamando qui i significati dei termini dipendenti dai carichi esterni, osserviamo che questi termini rispetto a quelli ivi considerati, sono moltiplicati per la lunghezza della rispettiva campata.

L'equazione (186) stabilisce una relazione tra i carichi esterni sulle due campate  $l_1$  ed  $l_2$ , le dimensioni della trave in esse, i dislivelli relativi degli appoggi ed i momenti  $M_1, M_2, M_3$  sui tre appoggi consecutivi  $C_1, C_2, C_3$ . Essa si chiama perciò la equazione dei tre momenti, ed è pure nota sotto il nome di equazione di Clapeyron essendo a questi dovuta<sup>(\*)</sup>

(\*) Si noti però che il Clapeyron nella sua ricerca (1857) aveva considerato il caso degli appoggi tutti di livello  $y_1 = y_2 = y_3 = \dots = y_n = 0$

Per la trave continua che consideriamo si possono scrivere tante equazioni come questa (52) quanti sono gli appoggi intermedi cioè  $n$ , notiamo che la prima di tali equazioni, cui è quella relativa alle campate  $AC_1$ , e  $C_1C_2$  diviene:

$$lM_A + 2(l+l_1)M_1 + l_1M_2 = -\frac{\Sigma Pa(l^2 - a^2)}{2} - \frac{\Sigma Pb(l_1^2 - b^2)}{l_1} - \frac{pl^3 - p_1l_1^3}{4} + 6EI \left( \frac{y_1}{l} - \frac{y_2 - y_1}{l_1} \right) \quad (187)$$

e, l'ultima equazione, cioè quella relativa alle campate  $C_{n-1}C_n$  e  $C_nB$  sarà:

$$l_{n-1}M_{n-1} + 2(l_{n-1} + l_n)M_n + l_nM_B = -\frac{\Sigma Pa(l_{n-1}^2 - a^2)}{l_{n-1}} - \frac{\Sigma Pb(l_n^2 - b^2)}{l_n} - \frac{p_{n-1}l_{n-1}^3 + p_n l_n^3}{4} + 6EI \left( \frac{y_n - y_{n-1}}{l_{n-1}} - \frac{y_B - y_n}{l_n} \right) \quad (188)$$

Se  $M_A$  ed  $M_B$  sono staticamente noti ed in particolare nulli le  $n$  equazioni sopra dette, che costituiscono un sistema lineare determinato, bastano ricavare gli  $n$  momenti negli appoggi intermedi.

Se invece uno dei momenti  $M_A$  ed  $M_B$ , ad entrambi, sono incogniti, occorre aggiungere al sistema ancora una o due equazioni, le quali si ottengono rispettivamente applicando la prima delle (187) alla prima campata  $l$  e la seconda, pure delle (187), al-

L'ultima campata  $l_n$ ; e perciò dovranno essere date le condizioni di vincolo alle estremità, e inclinazioni  $\alpha$  e  $\beta$ . Si ottiene così per la prima campata  $AC_1 = l$ .

$$2lM_A + lM_1 = -\frac{\sum Pb(l^2 - b^2)}{l} - \frac{pl^3}{4} + GEI\left(\alpha - \frac{y_1}{l}\right) \quad (189)$$

e per l'ultima campata  $C_n B = l_n$ :

$$l_n M_n + 2l_n M_B = -\frac{\sum Pa(l_n^2 - a^2)}{l_n} - \frac{p_n l_n^3}{4} + GEI\left(\beta + \frac{y_B - y_n}{l_n}\right) \quad (190)$$

È ormai ovvio che se poi i momenti  $M_A$  ed  $M_B$  sono dati (o in particolare nulli) le equazioni ora dette servono a determinare le inclinazioni  $\alpha$  e  $\beta$ , che in tale caso sono incognite.

Il sistema di equazioni lineari costituito dalle  $n$  equazioni dei tre momenti disposte in ordine secondo la numerazione, alle quali si può, ove occorre, aggregare la prima delle (182) in primo posto, cioè la (189), e la seconda delle stesse in ultimo posto, cioè la (190), si può risolvere numericamente in modo abbastanza comodo, poiché la prima equazione contiene i primi due momenti incogniti, la seconda contiene i primi tre momenti, la terza contiene il secondo, terzo e quarto momento, e così via; l'ultimo contiene gli ultimi due. Così risulta facile tra le prime due equazioni eliminare la prima incognita e si ottiene

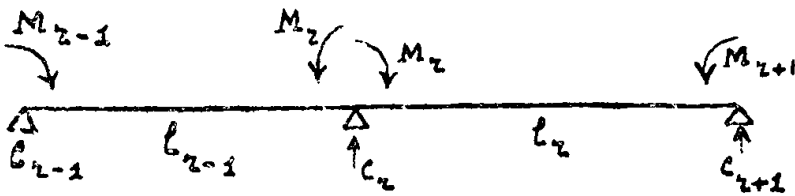
un'equazione, che contiene solamente la seconda e la terza incognita; poi tra questa equazione e la terza delle date si elimina la seconda incognita ottenendo un'equazione che contiene solamente la terza e la quarta incognita, e così di seguito si può procedere finché in ultimo si ottiene una equazione che contiene soltanto l'ultimo delle incognite la quale così viene determinata: allora dall'ultima delle date equazioni si determina la penultima incognita e dalla penultima equazione del sistema, si ricava la terzultima incognita, e così di seguito le altre incognite si determinano agevolmente.

La facilità dell'eliminazione per la risoluzione del sistema costituisce il principale vantaggio del metodo basato sul concetto (dovuto al Clapeyron) di assumere come incognite iperstatiche i momenti sugli appoggi anziché le reazioni finite verticali degli appoggi stessi.

Infatti sarebbe facile verificare che se si considerassero come incognite iperstatiche le reazioni ora dette, si troverebbe un sistema di equazioni contenenti ciascuna tutte le incognite; perciò la soluzione numerica ne sarebbe molto più laboriosa ed incomoda.

Trovati i momenti sugli appoggi è facile

determinare, colle leggi della statica, le reazioni degli appoggi stessi, come pure le sollecitazioni (momento flettente e sforzo di taglio) per una qualunque sezione generica della trave.



Essi per determinare la reazione

$c_z$  dell'appoggio  $z^{\text{mo}}$  potremo avvalerci del principio della sovrapposizione degli effetti, immaginando la campata precedente e quella seguente l'appoggio  $c_z$  come semplicemente appoggiate agli estremi e tenendo conto dell'azione dei momenti flettenti che, per la continuità, si trasmettono attraverso le sezioni sugli appoggi  $c_{z-1}$ ,  $c_z$  e  $c_{z+1}$ .

Indichiamo con  $c_{z_0}$  la reazione dell'appoggio  $c_z$  quando le due campate  $l_{z-1}$  ed  $l_z$  sono soltanto appoggiate agli estremi e caricate dall'assegnato sistema di forze esterne.

Per effetto di  $M_{z-1}$ , che ha il verso indicato dalla figura e agisce nella sezione sull'appoggio  $c_{z-1}$ , si ha (ricordando quanto si è detto in precedenza sulla determinazione delle reazioni degli appoggi in una trave semplicemente appoggiata

agli estremi e sollecitata in una delle sezioni terminali da un momento flettente) in  $C_r$  una reazione diretta dal basso in alto di intensità  $\frac{M_{r-1}}{l_{r-1}}$ ; analogamente  $M_{r+1}$  agente sulla sezione per  $C_{r+1}$  produce in  $C_r$  una reazione diretta dal basso in alto data da:  $\frac{M_{r+1}}{l_r}$ ; per effetto di  $M_r$  agente sulla sezione per  $C_r$  considerato come appartenente alla campata  $l_{r-1}$  ed alla campata  $l_r$  si hanno in  $C_r$  reazioni dirette dall'alto in basso rispettivamente eguali a  $\frac{M_r}{l_{r-1}}$  ed  $\frac{M_r}{l_r}$  in definitiva si ha sommando algebricamente le diverse reazioni:

$$C_r = C_{r0} + \frac{M_{r-1}}{l_{r-1}} - M_r \left( \frac{1}{l_{r-1}} + \frac{1}{l_r} \right) + \frac{M_{r+1}}{l_r} \quad (191)$$

In particolare alle estremità si ha in A:

$$R_A = C_n - \frac{M_A}{l} + \frac{M_1}{l}$$

e in B

$$R_B = - \frac{l_B}{l} + \frac{M_n}{l_n}$$

Restano così determinate tutte le forze esterne applicate alla trave, e quindi per una qualunque sezione è facile esprimere le sollecitazioni ossia il momento flettente e lo sforzo di taglio, e ciò si ottiene dalle leggi della statica.

In particolare, per esprimere il momento flet-

tente in una sezione qualunque, considerando la campata cui questa appartiene come imperfettamente incastrata alle estremità, si può usare la formula:

$$M_x = M_0 + \frac{M_A}{l} (l-x) + \frac{M_B}{l} x$$

già vista precedentemente, applicandola alla campata considerata e perciò ponendo in luogo di  $M_A$  ed  $M_B$  i momenti sugli appoggi che limitano la detta campata, oltre alle altre sostituzioni ovvie.

Si noti che la su esposta applicazione dell'equazione dei tre momenti si presta - pure, con particolare semplicità, a determinare le sollecitazioni provocate nella trave continua dai dislivelli degli appoggi i quali possono esser dovuti ad errori od imperfezioni di montaggio oppure a cedimenti degli appoggi stessi.

Valora è opportuno valutare separatamente le suddette sollecitazioni e ciò si fa applicando l'equazione dei tre momenti, nella quale si annullano tutti i termini dipendenti dai carichi esterni.

Se poi tre appoggi consecutivi sono in linea retta, allora all'equazione che lega i tre momenti su tali appoggi compare del tutto il termine noto, ed il calcolo numerico del sistema si semplifica ancora ulteriormente.